

FIG. 1A

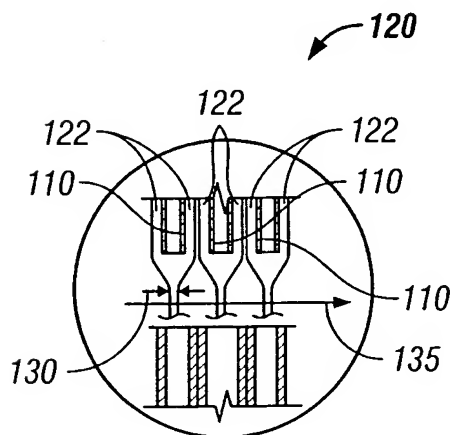
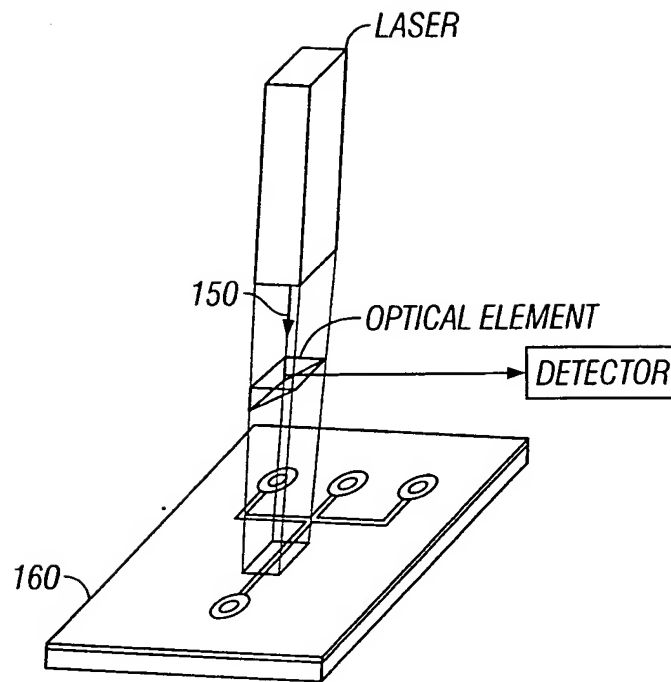
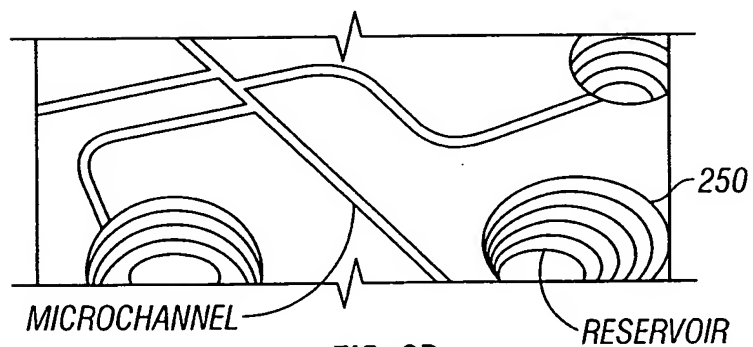


FIG. 1B



**FIG. 2**



**FIG. 3B**

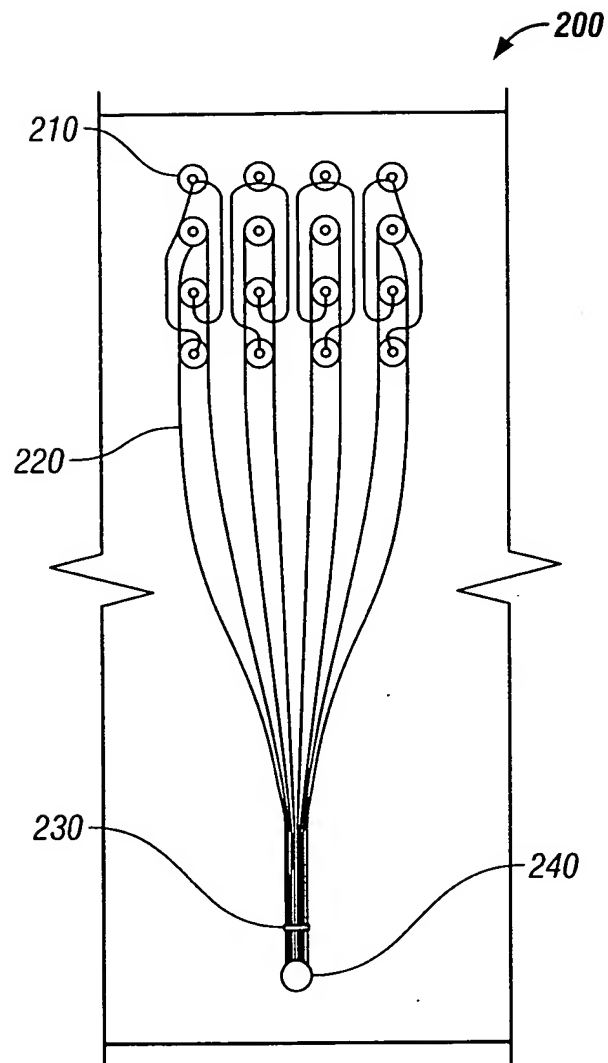
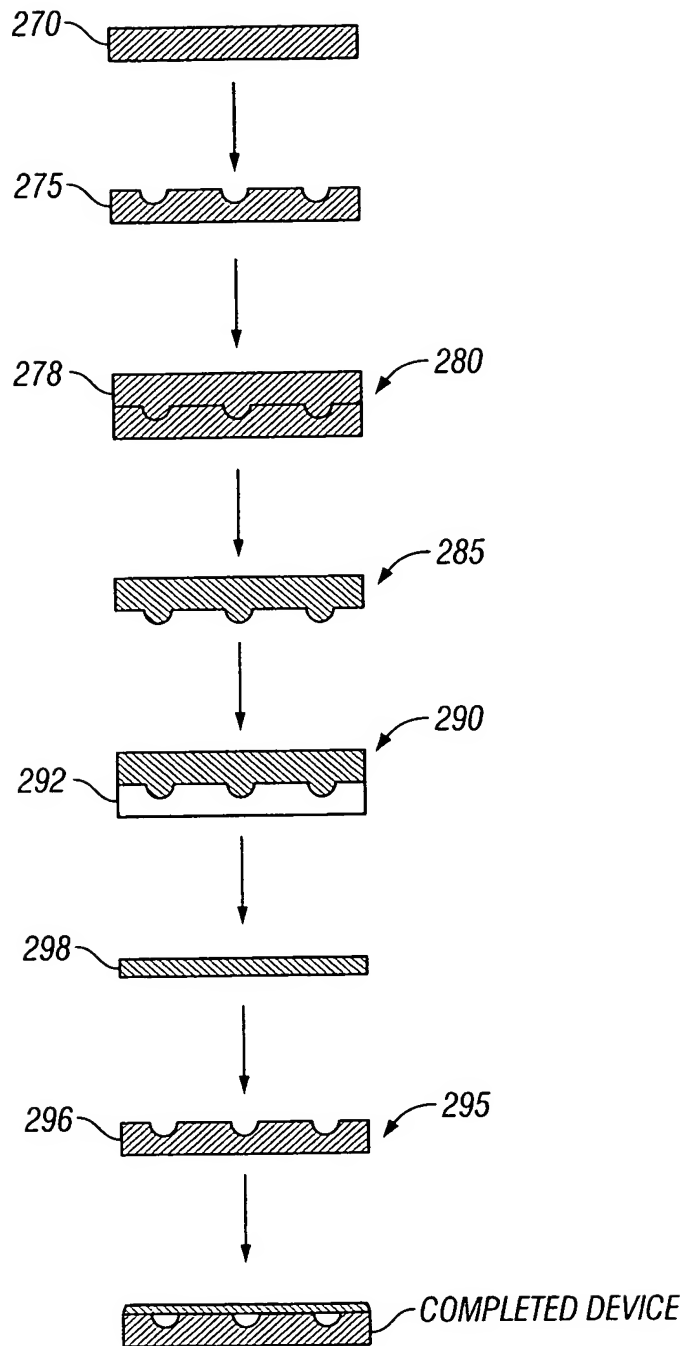


FIG. 3A



**FIG. 4**

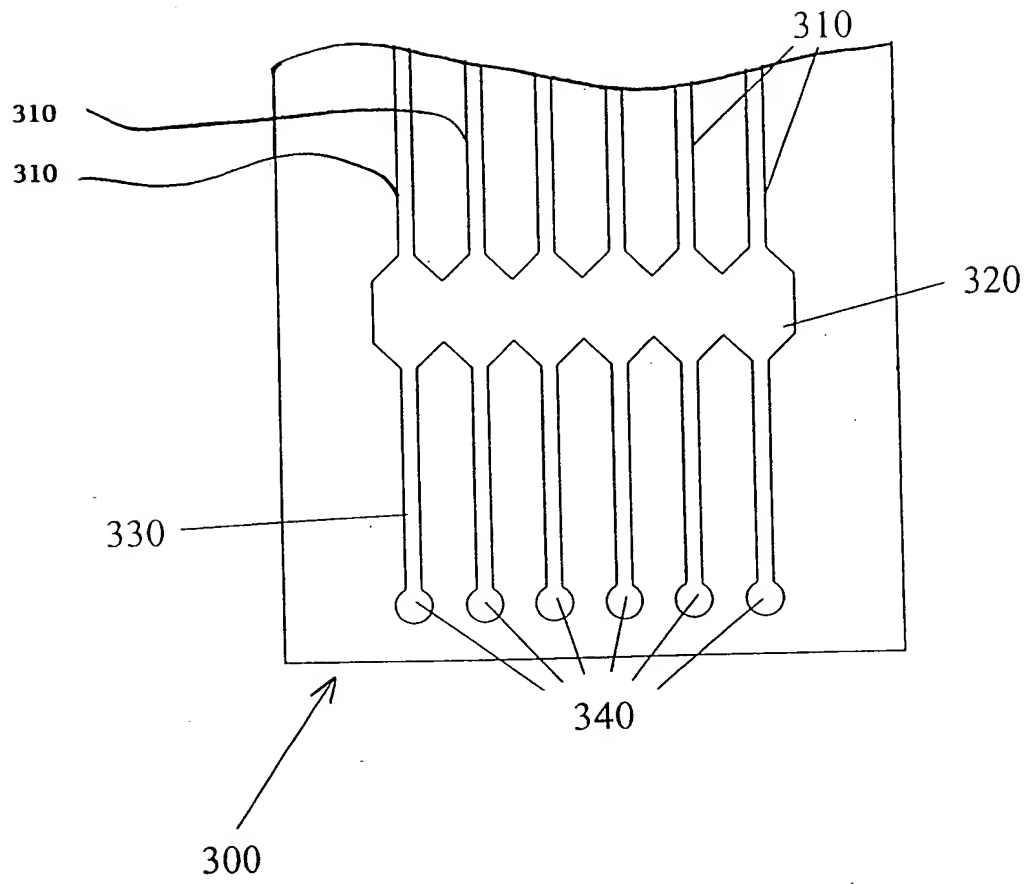


Figure 5

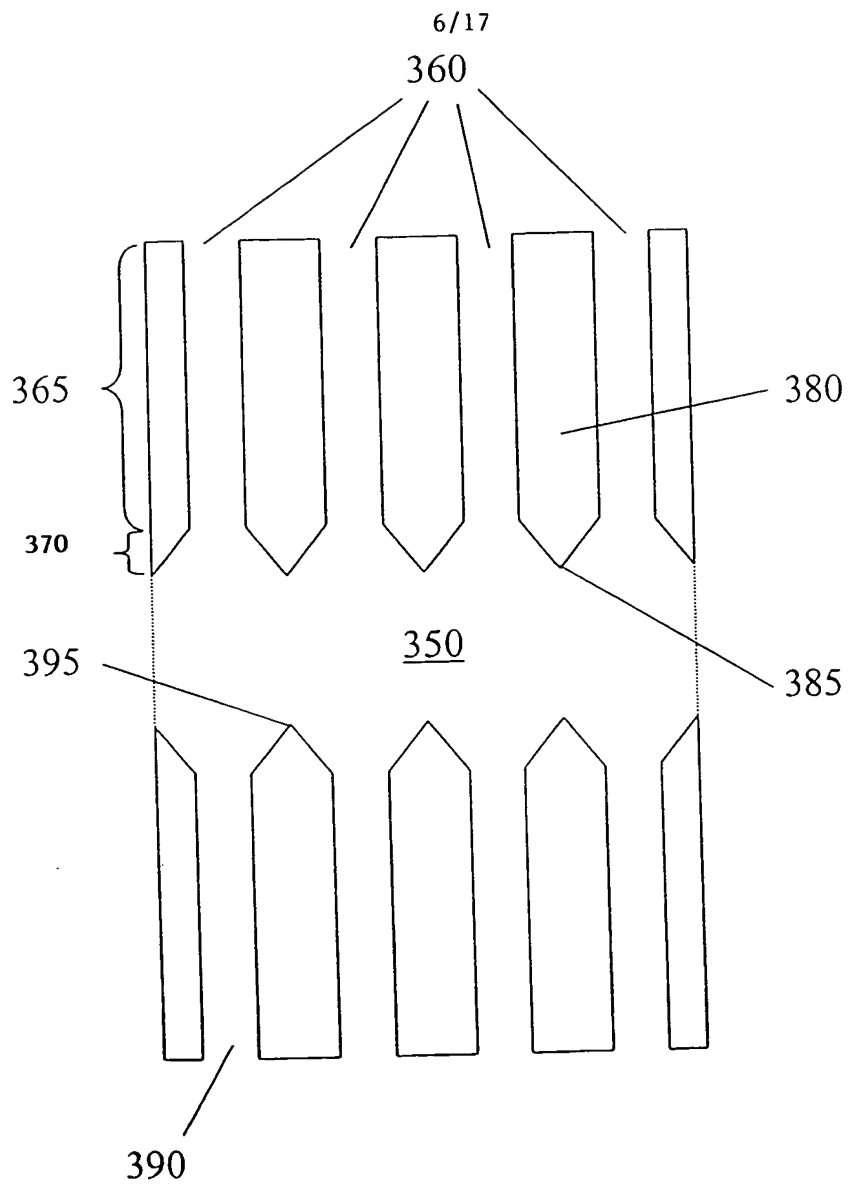


Figure 6

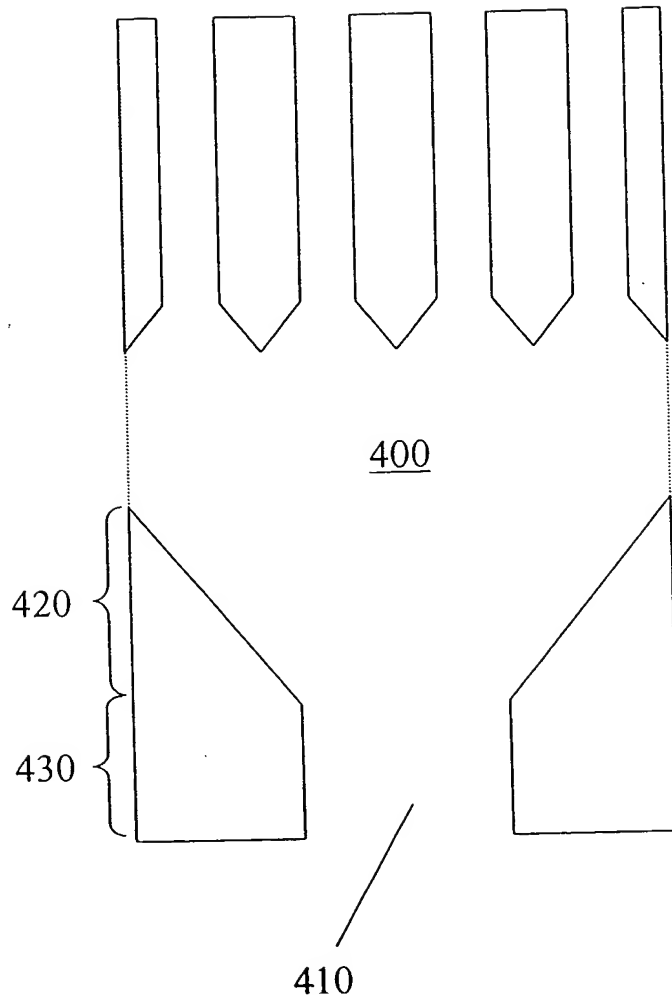


Figure 7

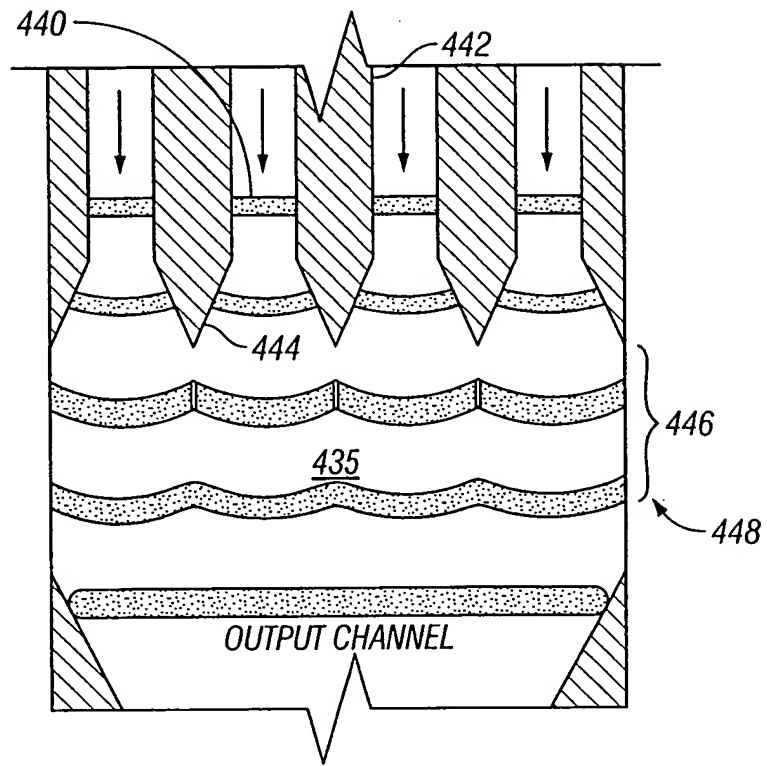


FIG. 8

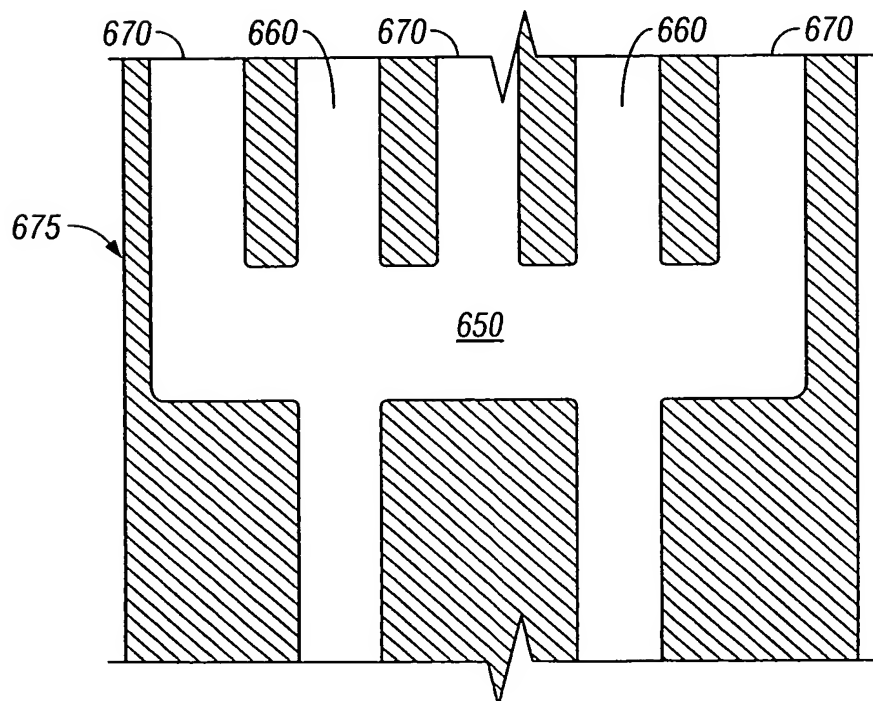


FIG. 10



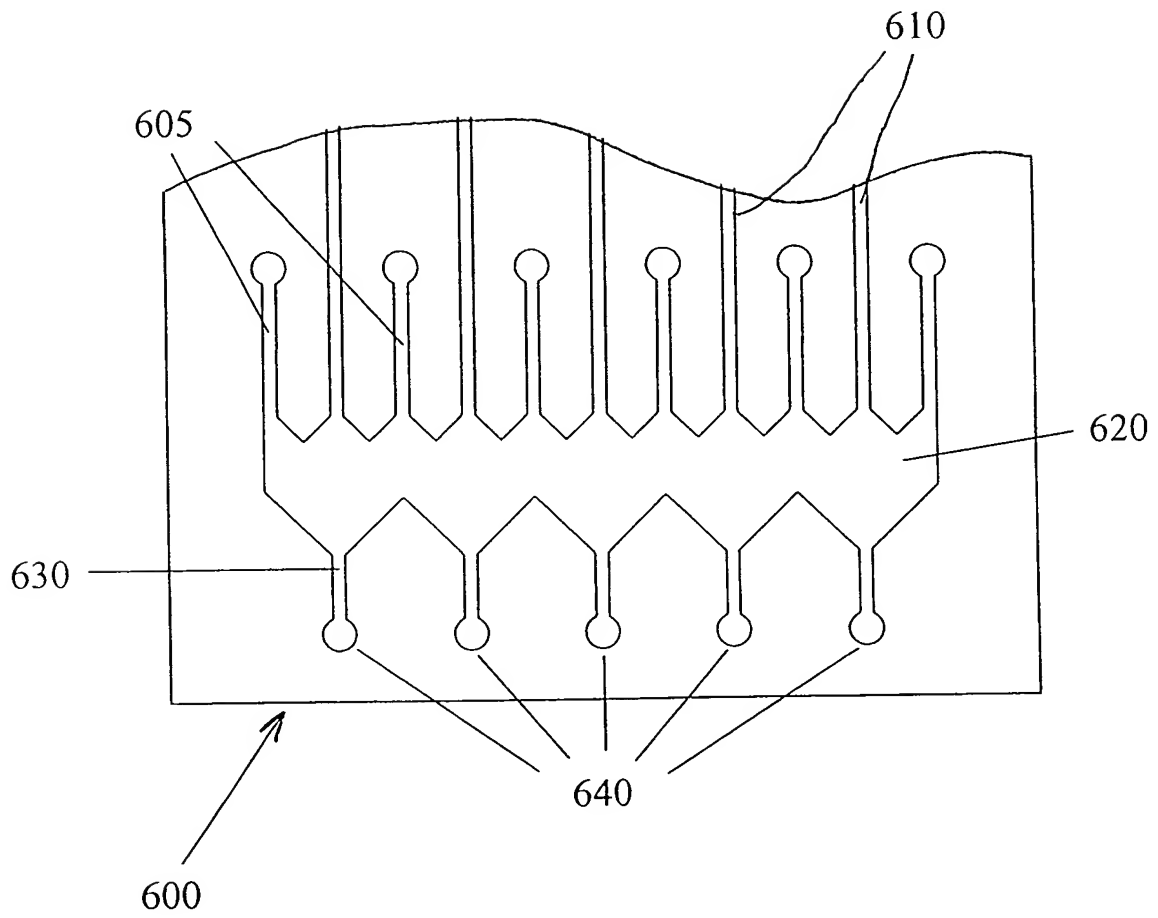
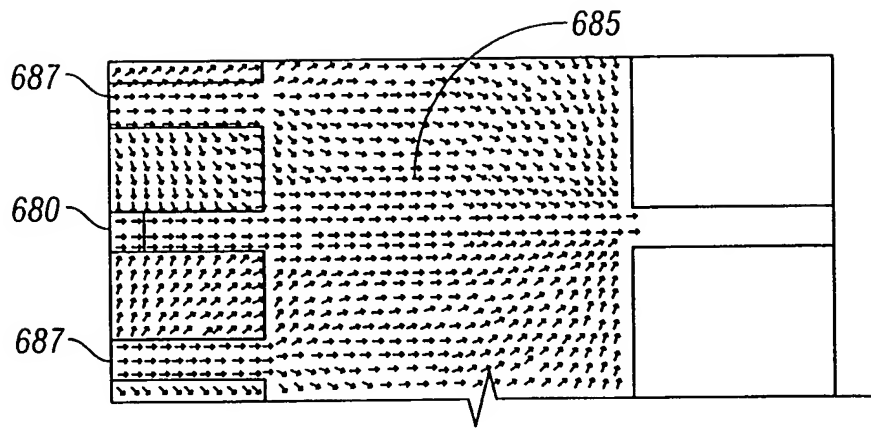
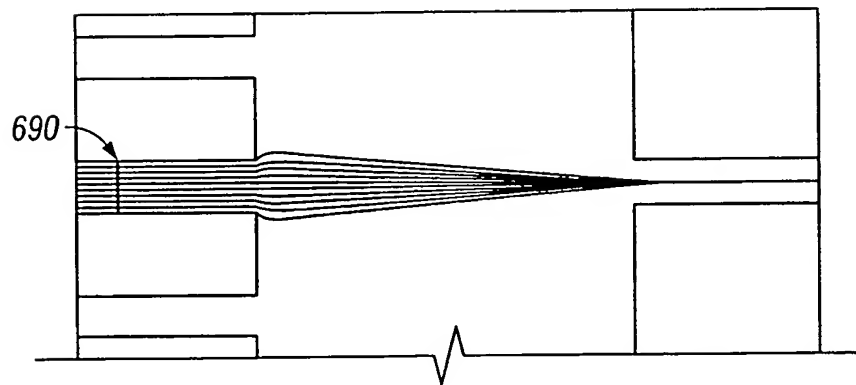


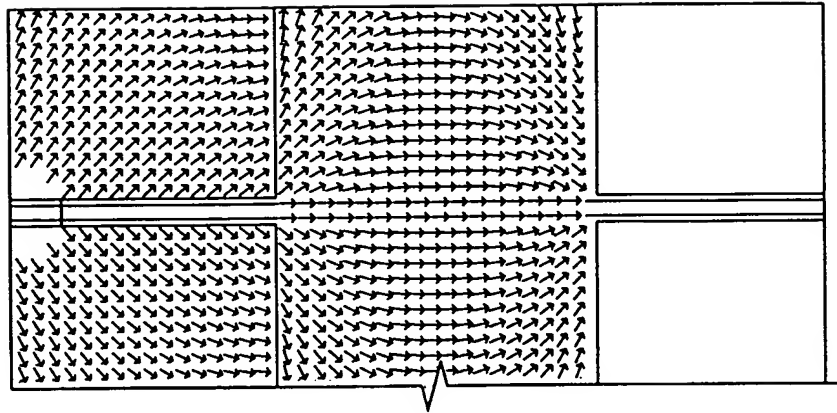
Figure 9



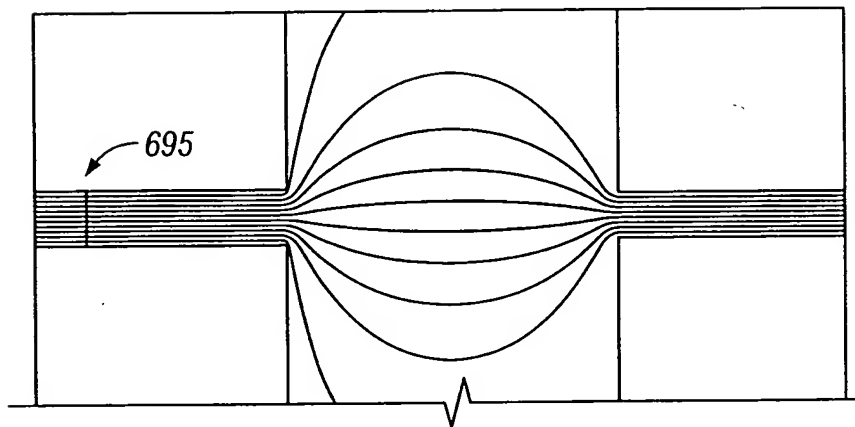
**FIG. 11A**



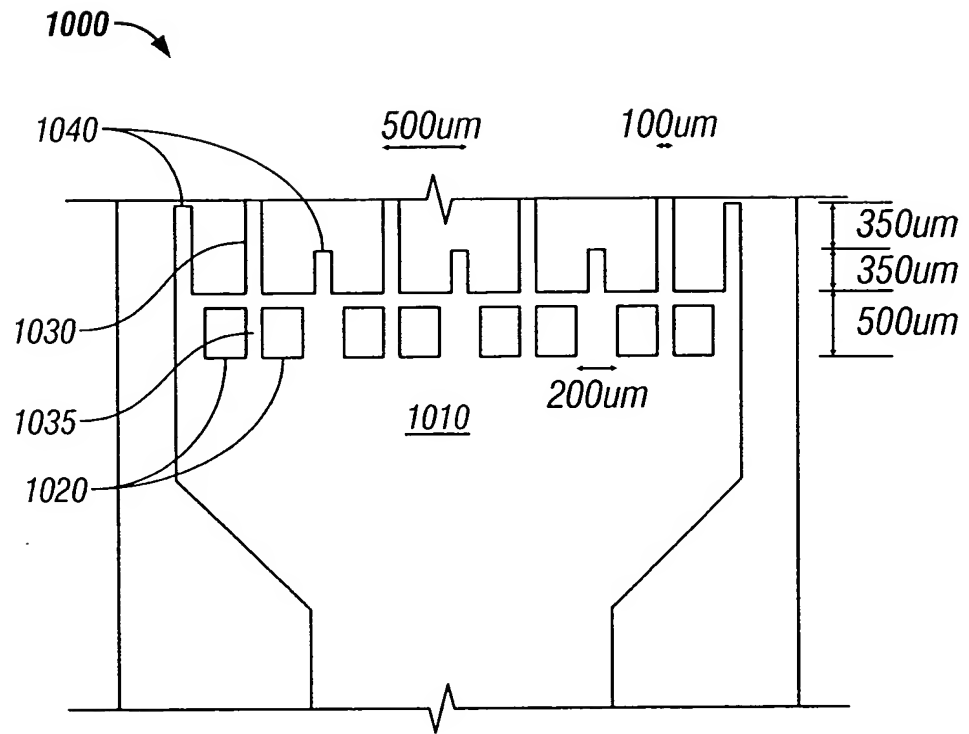
**FIG. 11B**



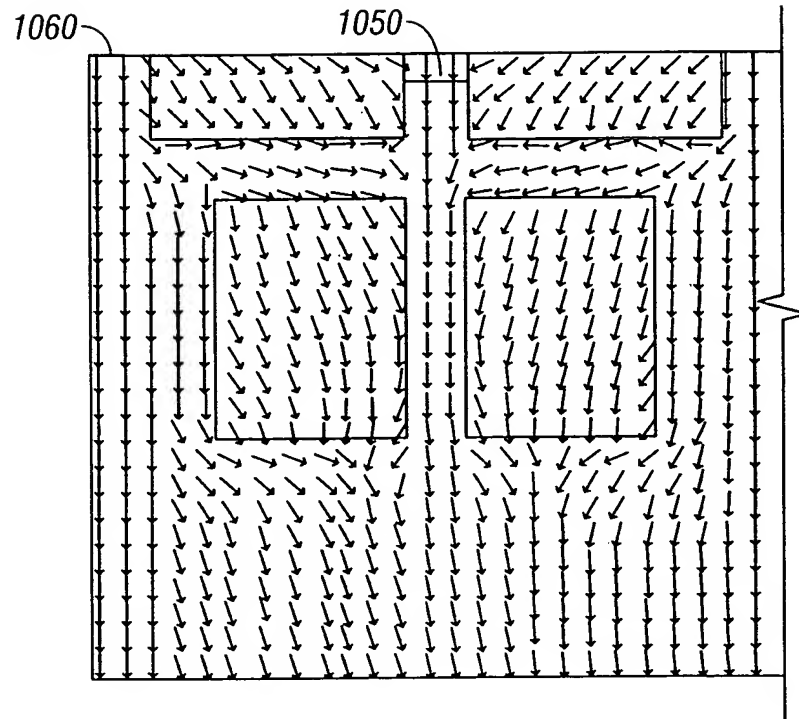
**FIG. 12A**



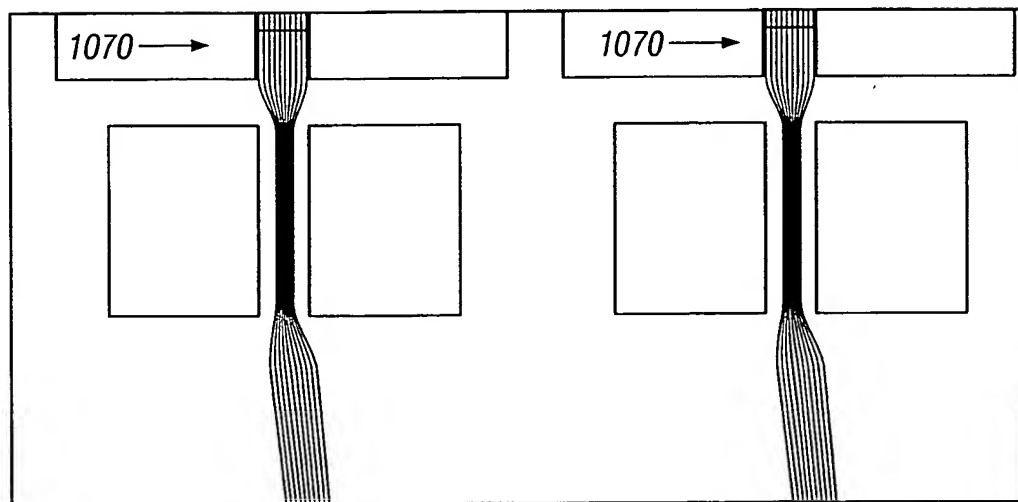
**FIG. 12B**



**FIG. 13**



**FIG. 14A**



**FIG. 14B**

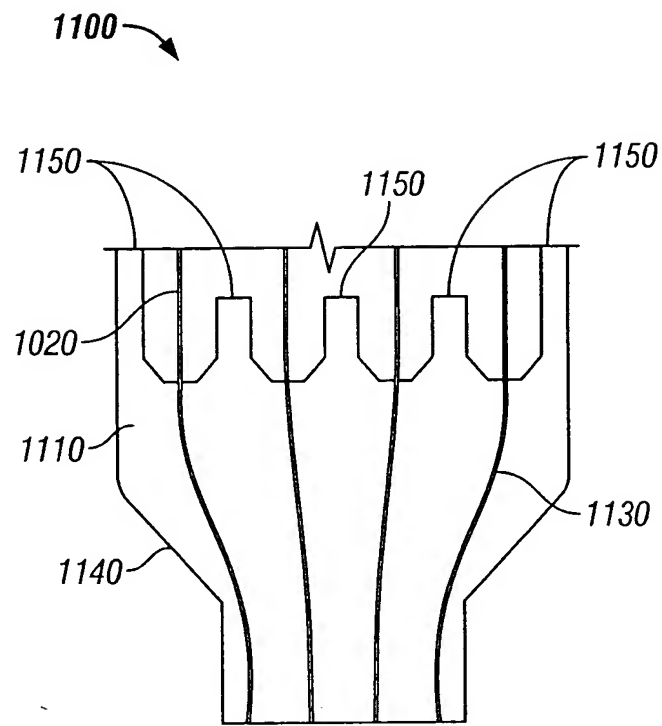


FIG. 15

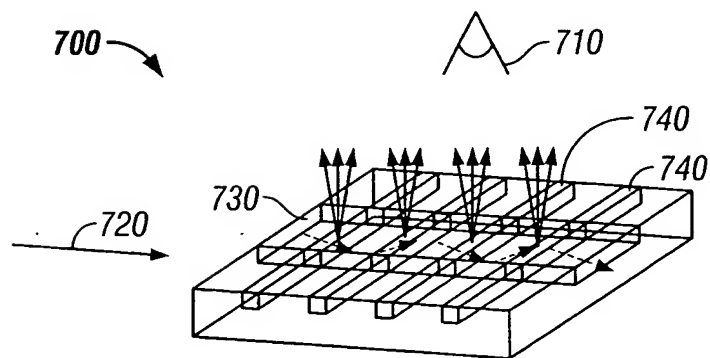
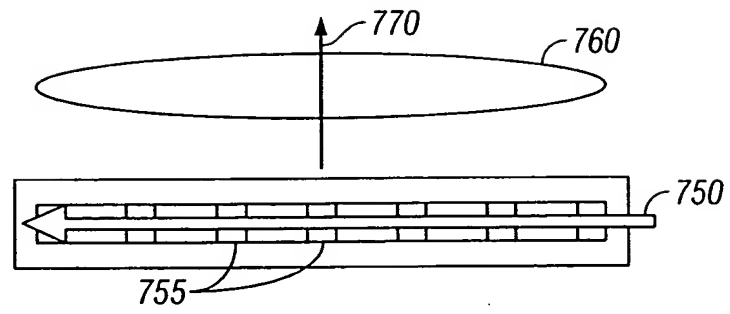
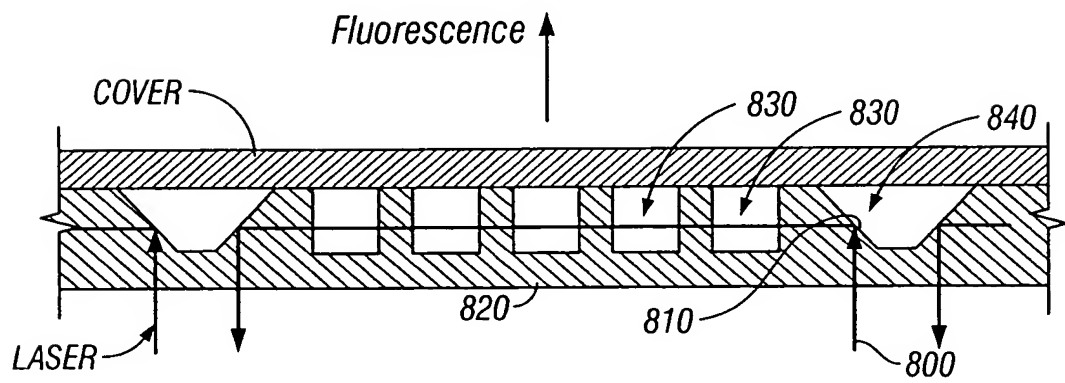


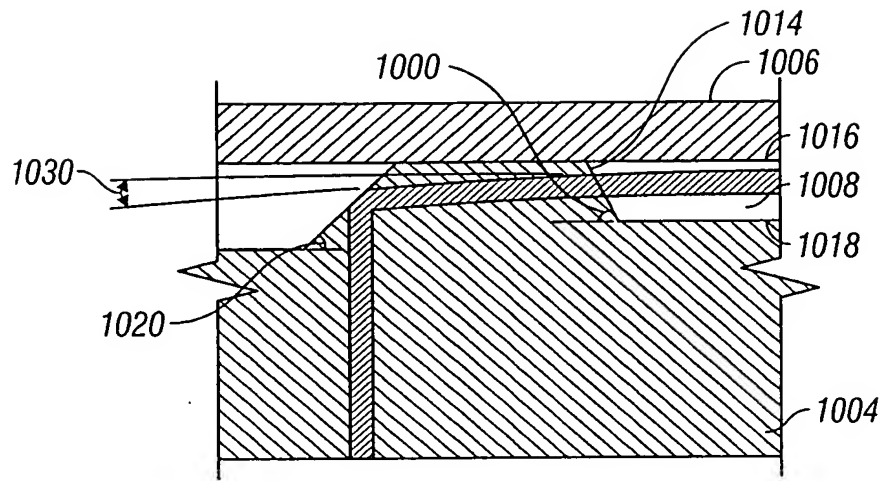
FIG. 16A



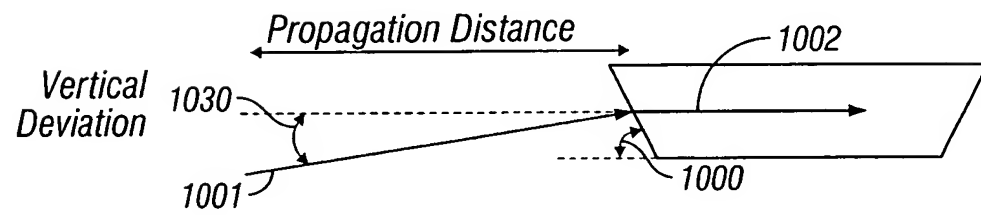
**FIG. 16B**



**FIG. 17**



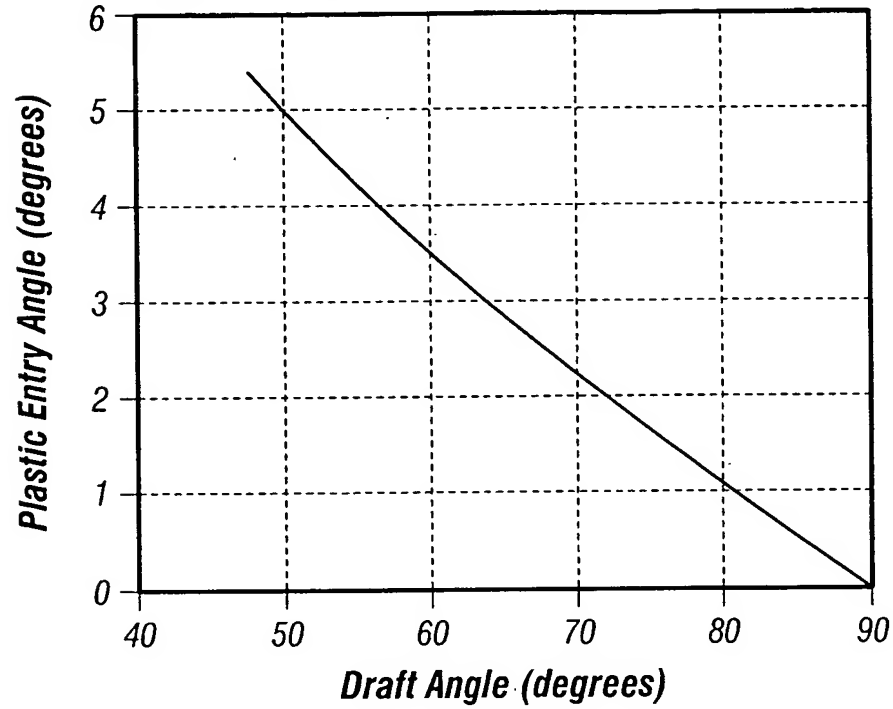
**FIG. 18**



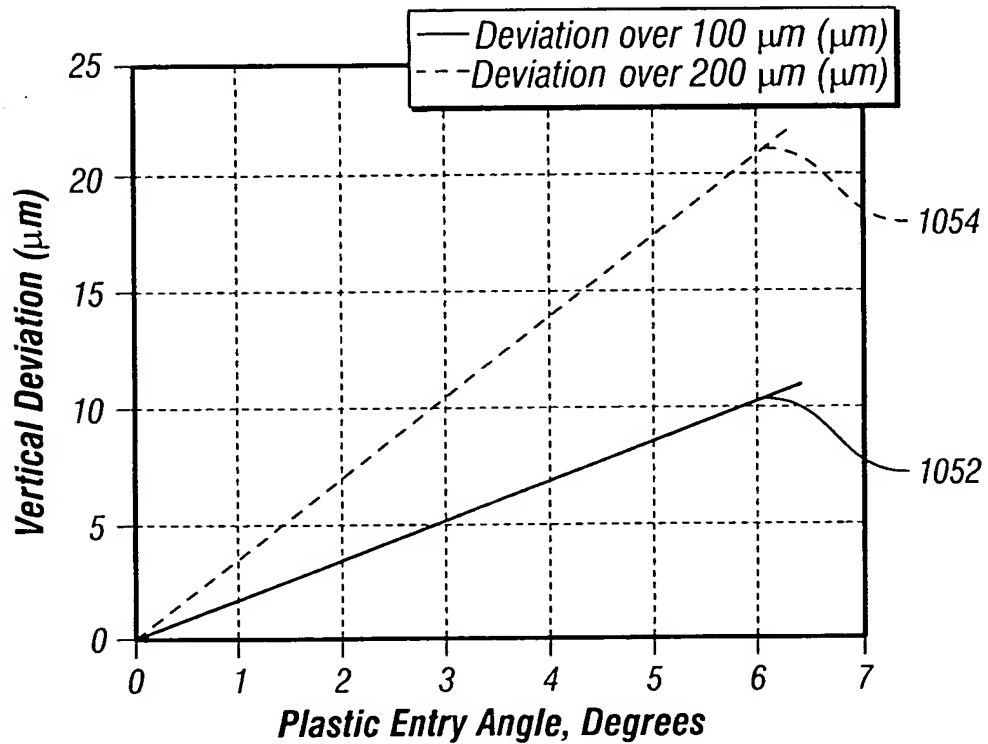
**FIG. 19**



**Plastic ( $n=1.49$ ) Entry Angle (from Horizontal) vs.  
Draft Angle on Detection Channel filled with water ( $n=1.33$ )**



**FIG. 20A**



**FIG. 20B**